

## بررسی رفتار ترمومکانیکی آلیاژ آمورف $\text{Co}_{67}\text{Fe}_4\text{Cr}_7\text{Si}_8\text{B}_{14}$

سیده اکرم هاشمی نژاد<sup>۱</sup>، محسن حداد سبزوار<sup>۲</sup>

چکیده:

در این بررسی رفتار ترمومکانیکی نوارهای آلیاژ آمورف  $\text{Co}_{67}\text{Fe}_4\text{Cr}_7\text{Si}_8\text{B}_{14}$  مورد مطالعه قرار گرفت. محاسبات افزایش طول نمونه‌های آمورف و آنیل شده با استفاده از دستگاه تحلیل ترمومکانیکی (TMA) در شرایط بارگذاری کششی-محوری و در محدوده دمای محیط تا بالاتر از دمای بلورینگی انجام گرفت. آزمایشات در شرایط غیرهمدما در نرخ‌های گرمایش  $20^{\circ}\text{C min}^{-1}$ ،  $40^{\circ}\text{C min}^{-1}$  و  $80^{\circ}\text{C min}^{-1}$  تحت نیترون ۱ و ۵ نیوتون و از محیط تا نقطه شکست انجام گرفت. نتایج انساط حرارتی ظاهری نمونه آمورف در نرخ گرمایش  $20^{\circ}\text{C min}^{-1}$  و تنفس  $15 \text{ MPa}$  و  $312 \text{ MPa}$  ترسیم و سپس مقادیر مقایسه شدند. سیلان ویسکوز این آلیاژ مورد بررسی قرار گرفت و دماهای شروع سیلان ویسکوز، سیلان ویسکوز حالت پایدار و اتمام سیلان ویسکوز از داده‌های TMA بدست آمد. نتایج حاکی از افزایش دماهای شروع سیلان ویسکوز، سیلان ویسکوز حالت پایدار و اتمام سیلان ویسکوز با افزایش نرخ گرمایش و تنفس اعمالی بودند و بیانگر تغییر فرم پذیری بالای آلیاژ آمورف حاضر با افزایش دما و تنفس است.

**کلمات کلیدی:** آلیاژ آمورف پایه کربالت، رفتار ترمومکانیکی، رفتار سیلان ویسکوز.

<sup>۱</sup> دانشجوی کارشناسی ارشد، شناسایی و انتخاب مواد مهندسی، دانشگاه فردوسی مشهد

akram.hasheminejad@gmail.com

<sup>۲</sup> دانشیار گروه مهندسی مواد و متالورژی، دانشگاه فردوسی مشهد

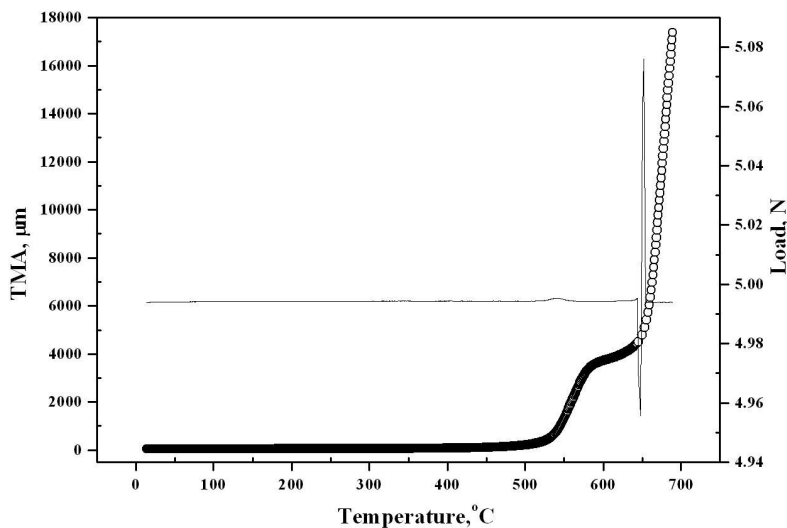
## ۱- مقدمه

آرایش اتمی غیر بلورین و تصادفی در فلزات آمورف، مجموعه‌ی نظری از خواص فیزیکی، مکانیکی، مغناطیسی، خوردگی و ... را در این مواد فراهم نموده است که اغلب آنها را در مقایسه با همتای بلورینشان برتر می‌سازد. فلزات آمورف پایه کمالت دارای خواص مغناطیسی نرم عالی بوده که منجر به کاربرد وسیع آن‌ها در دستگاه‌های الکترونیکی، کلاهک‌های ثبت داده‌های مغناطیسی، ضبط‌ها، سنسورهای مغناطیسی و... شده است [۱و۲]. بسیاری از فلزات آمورف در هسته سنسورهای مغناطیسی استفاده می‌شوند. در بعضی از این دستگاه‌ها، نوارها در معرض انواع بارهای مختلف قرار می‌گیرند [۳]. با توجه به کاربرد وسیع این دسته از مواد در دماهای بالا و تحت تنفس، مطالعه رفتار ترمومکانیکی آن‌ها دارای اهمیت می‌باشد.

## ۲- مواد و روش تحقیق

در این تحقیق از نوارهای آلیاژ آمورف  $\text{Co}_{67}\text{Fe}_4\text{Cr}_7\text{Si}_8\text{B}_{14}$  با عرض ۲ سانتی‌متر و ضخامت  $1 \pm 29$  میکرومتر که با روش Planar Flow Melt Spinning (PFMS) تهیه شده بودند، استفاده شد [۴]. محاسبات افزایش طول نمونه‌های آمورف و آنل شده (در دمای  $500^{\circ}\text{C}$  به مدت زمان ۳۰ دقیقه) با استفاده از دستگاه تحلیل ترمومکانیکی (TMA60<sup>۱</sup>) مدل Shimadzu انجام گرفت. تحلیل گر ترمومکانیکی (TMA) وسیله‌ای برای اندازه‌گیری تغییرات مکانیکی مانند انبساط و انقباض نمونه‌ها تحت بار اعمالی حین گرمایش است. با استفاده از داده‌های TMA می‌توان تغییرات ابعادی نمونه‌های کوچک یا نمونه‌هایی که تغییراتی در حد میکرون دارند و نمی‌توان تست کشش آنها را با دستگاه‌های بزرگ انجام داد را بحسب دما یا زمان رسم کرد. حد اکثر بار اعمالی در این دستگاه ۵ نیوتون می‌باشد. از این رو آزمایشات در شرایط غیرهمدما در نرخ‌های گرمایش  $20^{\circ}\text{Cmin}^{-1}$ ،  $40^{\circ}\text{Cmin}^{-1}$  و  $80^{\circ}\text{Cmin}^{-1}$  و تحت نیروهای ۱ و ۵ نیوتون و از دمای محیط تا نقطه شکست انجام گرفت. نمونه‌ها دارای ضخامت  $1 \mu\text{m}$ ، طول  $5 \text{ mm}$  و عرض تقریباً  $0.5 \text{ mm}$  بودند. شکل ۱ منحنی (افزایش طول) بر حسب دما تحت بار اعمالی  $N$  و نرخ گرمایش  $20^{\circ}\text{Cmin}^{-1}$  را نشان می‌دهد.

<sup>۱</sup> Thermo-Mechanical Analyzer



شکل ۱: نمودار TMA نمونه آمورف تحت بار اعمالی  $5 \text{ N}$  و نرخ گرمایش  $20^\circ\text{C min}^{-1}$ .

منحنی های ضریب انبساط حرارتی ( $\alpha$ ) که مشتق تغییر طول بر حسب دماست و DTMA که مشتق تغییر طول بر حسب زمان است، برای نمونه های آمورف در نرخ گرمایش و تنش های مختلف و نمونه آنیل شده ترسیم و سپس مقادیر مقایسه شدند.

$$\text{ضریب انبساط حرارتی از رابطه } \frac{\Delta L}{L \cdot \Delta T} = \alpha \text{ محاسبه شد.}$$

### ۳- نتایج و بحث

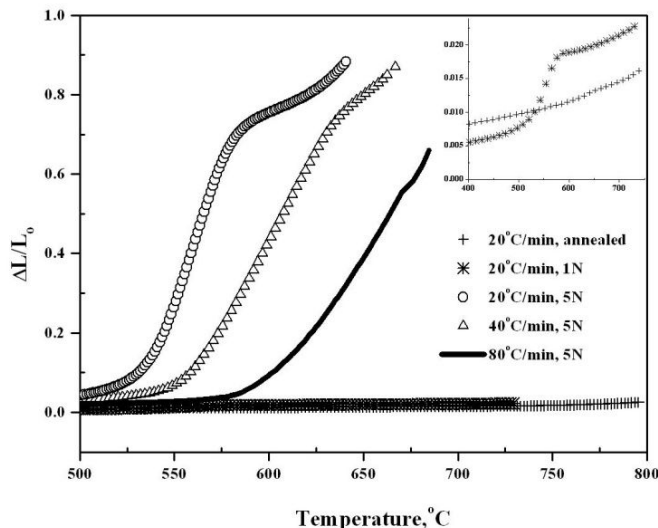
منحنی های سیلان کششی نمونه های آمورف و آنیل شده (در دمای  $500^\circ\text{C}$  به مدت ۳۰ دقیقه) آلیاژ  $\text{Co}_{67}\text{Fe}_4\text{Cr}_7\text{Si}_8\text{B}_{14}$  اندازه گیری شده با TMA در تنش ها و نرخ های گرمایش مختلف در شکل ۲ دیده می شود. در ادامه اثر پارامتر های مختلف مؤثر بر روی شکل منحنی ها بررسی می شود.

#### ۳-۱- اثر تنش اعمالی بر رفتار ترمومکانیکی

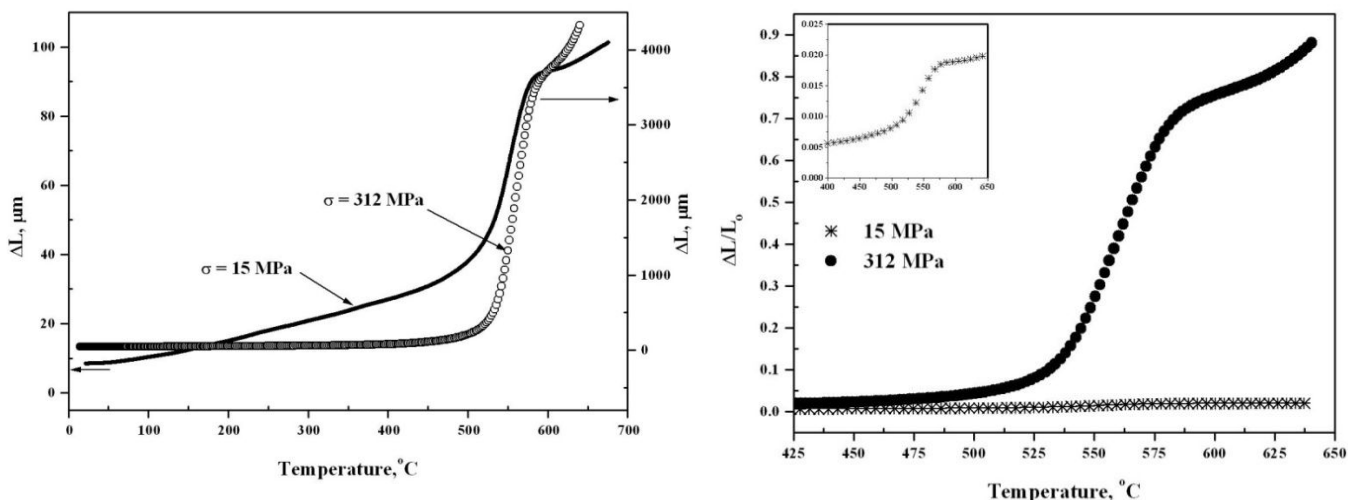
وابستگی دمایی تغییر طول و تغییر طول نسبی آلیاژ آمورف در حالت کششی در دو سطح تنش  $15 \text{ MPa}$  و  $312 \text{ MPa}$  در نرخ گرمایش  $20^\circ\text{C min}^{-1}$  در شکل های ۳ و ۴ نشان داده شده است.

تا دمای حدود  $500^\circ\text{C}$ ، مقدار افزایش طول نسبی تغییرات اندکی نشان می دهد. اما در بالاتر از دمای  $500^\circ\text{C}$  تغییر طول نسبی هر دو منحنی به مقدار قابل توجهی افزایش می یابد که نشان دهنده تغییر شکل آسان آلیاژ آمورف تا دمای بلورینگی است. در واقع نمونه ها تا دمای مشخصی که ساختار آمورف حالت بی نظمش را حفظ می کند به تدریج کشیده می شوند، پس از آن سرعت افزایش منحنی آمورف با کریستاله شدن کند می شود چون بلورینگی فرایندی با انقباض حجم است. با ادامه گرمایش، بعد از بلورینگی کامل، منحنی ها دوباره بالا می روند

چون نمونه‌ها در دماهای بالا نرم شده و تحت تنش کششی تغییر شکل پلاستیک می‌دهند [۵]. هر دو منحنی روند مشابهی را نشان می‌دهند بجز اینکه مقدار تغییر طول با افزایش تنش اعمالی افزایش می‌یابد. بیشترین تغییرات طولی که در این ناحیه اتفاق می‌افتد ( $\Delta L_{\max}$ ), به ترتیب ۹۱ و  $350.4 \mu\text{m}$  در تنش‌های  $15$  و  $312 \text{ MPa}$  در نرخ  $20^\circ\text{C}/\text{min}$  گرمایش $^{-1}$  می‌باشند. این تغییرات طول منطبق بر کرنش‌های مهندسی طول اولیه نمونه‌ها با مقادیر  $1/8\%$  و  $71\%$  می‌باشند (جدول ۱).



شکل ۲: تغییرات ( $\Delta L/L_0$ ) با دما برای همه نمونه‌ها در نرخ‌های گرمایش  $20^\circ\text{C}/\text{min}^{-1}$  و  $40^\circ\text{C}/\text{min}^{-1}$  و  $80^\circ\text{C}/\text{min}^{-1}$  با رعایت  $1\text{N}$  و  $5\text{N}$ .



شکل‌های ۳ و ۴: اثر تنش اعمالی بر تغییرات افزایش طول ( $\Delta L$ ) و افزایش طول نسبی ( $\Delta L/L_0$ ) بر حسب دما در نرخ گرمایش  $20^\circ\text{C}/\text{min}^{-1}$ .

جدول ۱: تغییر طول نمونه‌های آمورف و آنیل شده در تنش‌ها و نرخ‌های گرمایش مختلف

نمونه	تنش (MPa)	نرخ گرمایش $\beta$ ( $^{\circ}\text{Cmin}^{-1}$ )	$\Delta L_{\max}$ ( $\mu\text{m}$ )	$\Delta L_{\max}/L$ (%)
as-quenched	۱۵	۲۰	۹۱	۱/۸
annealed at $500^{\circ}\text{C}$ , 30 min	۱۵	۲۰	۶۵	۱/۳
as-quenched	۳۱۲	۲۰	۳۵۰۴	۷۱
as-quenched	۲۴۹	۴۰	۳۷۵۲	۷۶
as-quenched	۲۴۹	۸۰	۲۷۲۹	۵۵

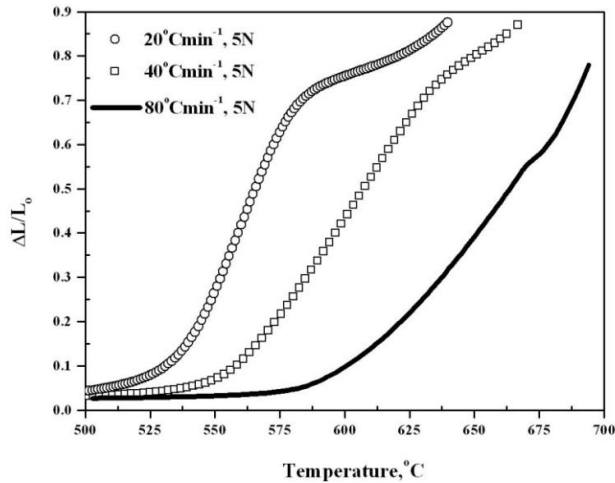
### ۲-۳-۱) اثر نرخ گرمایش بر رفتار ترمومکانیکی

تغییر طول نسبی نمونه‌های آمورف در نرخ‌های گرمایش  $20^{\circ}\text{Cmin}^{-1}$ ،  $40^{\circ}\text{Cmin}^{-1}$  و  $80^{\circ}\text{Cmin}^{-1}$  بر حسب دما در شکل ۵ رسم شده است. با افزایش نرخ گرمایش، افزایش طول نمونه‌ها بیشتر می‌شود، مخصوصاً این افزایش طول بالاتر از دمای  $500^{\circ}\text{C}$  به طرز چشمگیری افزایش می‌یابد. وقتی نرخ گرمایش بالا می‌رود، اتم‌ها افزایش دما را سریع‌تر تجربه می‌کنند. بنابراین زمان کافی برای رسیدن به تحرک کافی برای شرکت در تحول را ندارند و این تحرک کمتر منجر به کاهش کمتر حجم آزاد و کمتر شدن مرحله آزادسازی و بالطبع افزایش طول بیشتر می‌شود [۶]. دلیل کمتر بودن ( $\Delta L$ ) نمونه‌ای که با نرخ گرمایش  $80^{\circ}\text{Cmin}^{-1}$  تحت کشش قرار گرفته بود نسبت به نرخ گرمایش  $40^{\circ}\text{Cmin}^{-1}$ ، بلورینه شدن سریع‌تر نمونه  $80^{\circ}\text{Cmin}^{-1}$  از لحاظ زمانی است که از افزایش طول بیشتر نمونه جلوگیری می‌کند (شکل ۵).

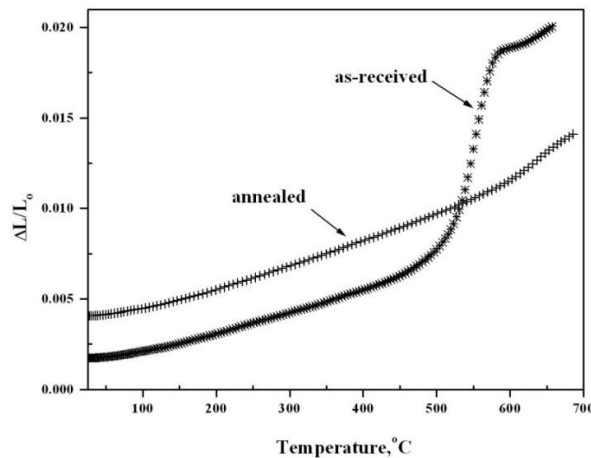
همچنین با افزایش نرخ گرمایش، انقباض طول ناشی از بلورینگی به سمت دماهای بالاتر منتقل می‌شود. هرچه نرخ گرمایش کمتر باشد، بعد از افزایش طول ناگهانی، انتقباض ناشی از بلورینگی واضح تر مشاهده می‌شود [۷].

### ۴-۳- مقایسه تغییر طول نمونه آمورف و آنیل شده

شکل ۶ تغییر طول نسبی نمونه آمورف و نمونه آنیل شده (در دمای  $500^{\circ}\text{C}$  به مدت ۳۰ دقیقه) در نرخ گرمایش  $20^{\circ}\text{Cmin}^{-1}$  و تحت تنش ۱۵ MPa را بر حسب دما نشان می‌دهد. تا دمای حدود  $400^{\circ}\text{C}$ ، هر دو نمونه روند افزایش طول مشابهی دارند. اما از دمای تقریباً  $450^{\circ}\text{C}$ ، تغییر طول نمونه آمورف شروع به انحراف از نمونه آنیل شده می‌کند و تا حدود  $500^{\circ}\text{C}$  با همان روند به افزایش ادامه می‌دهد. بنابراین در محدوده دمایی  $450^{\circ}\text{C}$  تا  $500^{\circ}\text{C}$ ، نمونه‌های آمورف و آنیل شده رفتار ترمومکانیکی متفاوتی را در شرایط بارگذاری و نرخ گرمایش یکسان نشان می‌دهند که نمونه آمورف افزایش بیشتری در تغییر طول نسبی از نمونه آنیل شده دارد.



شکل ۵: تغییرات افزایش طول نسبی ( $\Delta L/L_0$ ) بر حسب دما در نرخ های گرمایش  $20^\circ\text{Cmin}^{-1}$ ,  $40^\circ\text{Cmin}^{-1}$  و  $80^\circ\text{Cmin}^{-1}$  تحت بار اعمالی  $5\text{N}$ .



شکل ۶: تغییرات جابجایی نسبی نمونه های آمورف و آنیل شده (در دمای  $500^\circ\text{C}$  به مدت  $30$  دقیقه) با دما در نرخ گرمایش  $20^\circ\text{Cmin}^{-1}$  تحت تنش  $15\text{ MPa}$ .

از آنجایی که به علت آنیل کردن، دمای بلورینگی کاهش می یابد لذا نمونه آنیل شده از دیاد طول  $\Delta L$  کمتری دارد.

### ۳-۵- ضریب انبساط حرارتی

ضریب انبساط حرارتی خطی ( $\alpha$ ) با مشتق گرفتن از منحنی های افزایش طول ( $\Delta L$ ) نسبت به دما بدست می آید [۸].

شکل ۷ تغییرات افزایش طول و  $\alpha$  بر حسب دما در نرخ گرمایش  $20^\circ\text{Cmin}^{-1}$  تحت تنش  $15\text{ MPa}$  را به تصویر می کشد. با توجه به داده های TMA بخوبی دیده می شود که  $\alpha$  زیر دمای  $450^\circ\text{C}$ ، با دما رابطه خطی دارد. در

منحنی افزایش طول نیز، انبساط حرارتی باعث افزایش طول به صورت خطی می‌شود. وقتی دما به حدود  $500^{\circ}\text{C}$  رسید، مقدار ضریب انبساط حرارتی به طور ناگهانی افزایش می‌یابد که نشان‌دهنده شروع تحول شیشه‌ای شدن است. در آن واحد منحنی افزایش طول نیز نقطه عطفی را نشان می‌دهد که از آن می‌توان به  $T_g$  تعبیر کرد [۹]. افزایش طول ناگهانی در این ناحیه به دلیل شروع سیلان ویسکوز است. بین دمای  $25^{\circ}\text{C}$  تا  $932^{\circ}\text{C}$  ضریب انبساط حرارتی ( $\alpha$ ) مقدار  $841/19 \times 10^{-6}$  محاسبه شد.

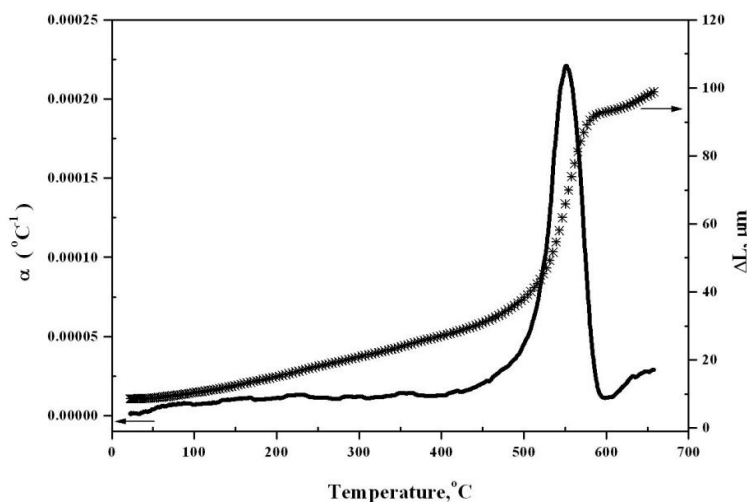
$\alpha$  رسم شده در این منحنی‌ها در واقع یک ضریب انبساط ظاهری است زیرا ضریب انبساط حرارتی واقعی یعنی افزایش طول با دما. انبساط حرارتی واقعی اثری برگشت‌پذیر دارد اما آزادسازی ساختاری و تغییرات طول به علت نیروی اعمالی (اثرات ویسکوز) غیر قابل برگشتند، بنابراین در اینجا نمی‌توان ضریب انبساط حرارتی واقعی را نشان داد [۱۰].

در آزمایشات کشش دیده می‌شود که با افزایش تنفس اعمالی، ضریب انبساط حرارتی ( $\alpha$ ) زیاد می‌شود (شکل ۸).

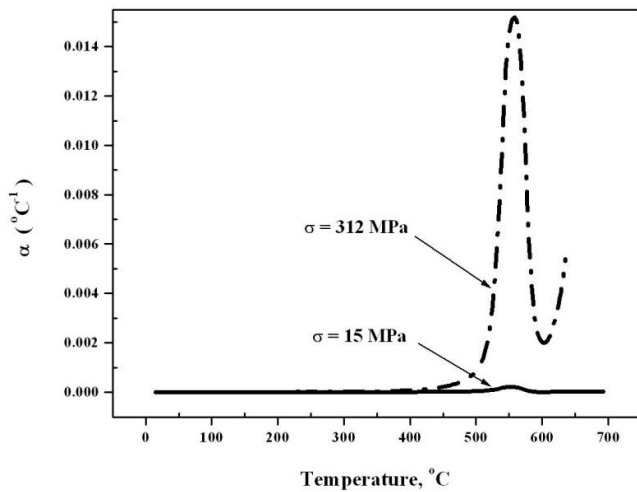
### ۳-۶- رفتار سیلان ویسکوز

منحنی DTMA (نرخ جابجایی) از مشتق جابجایی نسبت به زمان بدست می‌آید [۱۱].

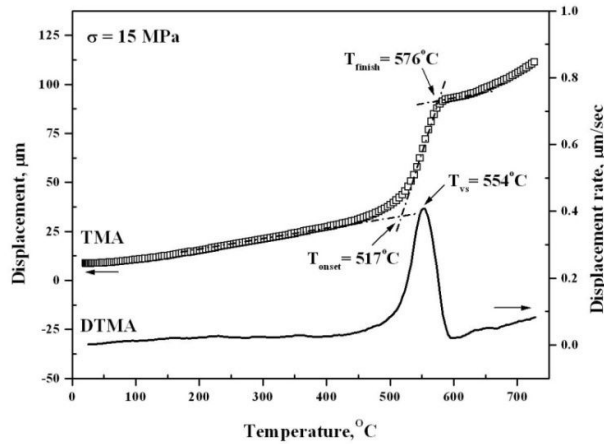
شکل ۹ منحنی‌های TMA و DTMA اندازه‌گیری شده در تنفس  $15\text{ MPa}$  و نرخ گرمایش  $20^{\circ}\text{C min}^{-1}$  را نشان می‌دهد. در این شکل دمای شروع سیلان ویسکوز ( $T_{onset}$ ) دمای سیلان ویسکوز حالت پایدار ( $T_{vs}$ ) و دمای پایان سیلان ویسکوز ( $T_{finish}$ ) روی منحنی TMA و DTMA علامت گذاری شده‌اند.  $T_{vs}$  یا دمای کمترین ویسکوزیته، دمای پیک منحنی DTMA تعریف شده است.



شکل ۷: تغییرات افزایش طول ( $\Delta L$ ) و ضریب انبساط حرارتی با دما در تنفس اعمالی  $15\text{ MPa}$  و نرخ گرمایش  $20^{\circ}\text{C min}^{-1}$ .



شکل ۸: اثر تنش اعمالی بر تغییرات ضریب انبساط حرارتی ( $\alpha$ ) در نرخ گرمایش  $20^{\circ}\text{Cmin}^{-1}$ .



شکل ۹: منحنی های TMA و DTMA اندازه گیری شده در تنش اعمالی ۱۵ MPa و نرخ گرمایش  $20^{\circ}\text{Cmin}^{-1}$ .

مقادیر  $T_{onset}$ ،  $T_{vs}$  و  $T_{finish}$  در نرخ گرمایش  $20^{\circ}\text{Cmin}^{-1}$  و تنش  $15 \text{ MPa}$  به ترتیب  $517^{\circ}\text{C}$ ،  $554^{\circ}\text{C}$  و  $576^{\circ}\text{C}$  هستند. این دماها در جدول ۲ گزارش شده‌اند.

جدول ۲: دماهای  $T_{\text{onset}}$ ،  $T_{\text{vs}}$  و  $T_{\text{finish}}$  در تنش‌ها و نرخ‌های گرمایش مختلف

نمونه	تنش (MPa)	نرخ گرمایش $\beta$ (°Cmin⁻¹)	$T_{\text{onset}}$ (°C)	$T_{\text{vs}}$ (°C)	$T_{\text{finish}}$ (°C)
as-quenched	۱۵	۲۰	۵۱۷	۵۵۴	۵۷۶
annealed at 500 °C, 30 min	۱۵	۲۰	۶۰۵	۶۳۹	۶۵۲
as-quenched	۳۱۲	۲۰	۵۳۱	۵۵۹	۵۸۲
as-quenched	۲۴۹	۴۰	۵۵۴	۶۰۵	۶۳۴
as-quenched	۲۴۹	۸۰	۶۰۵	-	۶۷۰

#### ۴- نتیجه‌گیری

نتایج به دست آمده از این پژوهش به طور خلاصه شامل موارد زیر می‌باشند:

- با افزایش تنش اعمالی و دما، مقدار افزایش طول نمونه‌ها به طور محسوسی افزایش می‌یابد.
- افزایش طول نمونه‌های آمورف با شروع تحول بلورینگی کاهش چشمگیری می‌یابد.
- با افزایش نرخ گرمایش،  $\Delta L$  نمونه‌ها افزایش می‌یابد.
- مشخص شد که ضریب انبساط حرارتی با افزایش دما تا دمای سیلان ویسکوز حالت پایدار ( $T_{\text{vs}}$ ) افزایش می‌یابد.
- سیلان ویسکوز آلیاژ آمورف  $\text{Co}_{67}\text{Fe}_4\text{Cr}_7\text{Si}_8\text{B}_{14}$  تحت تنش  $15\text{ MPa}$  و نرخ گرمایش  $15\text{ MPa} \cdot \text{Cmin}^{-1}$  از دمای حدود  $517^\circ\text{C}$  شروع شده و تحت تنش  $312\text{ MPa}$  از حدود  $531^\circ\text{C}$  آشکار می‌شود.

#### تشکر و قدردانی

نویسنده‌گان کمال تشکر را از آقای مهندس بختیاری مسئول آزمایشگاه تحقیقات گروه مهندسی شیمی جهت همکاری در انجام آزمایشات دارا می‌باشند.

#### ۵- مراجع

- 1- Z.Z. Yuan, X.D. Chen, H. Xu, X.L. Qu, B.X. Wang, "Crystallization kinetics of ultrafine  $\text{Co}_{74.4}\text{B}_{25.6}$  amorphous powder prepared by chemical reduction", Journal of Alloys and Compounds, Vol. 422, 2006, P. 109-115.
- 2- Z.Z. Yuan, X.D. Chen, B.X. Wang, Z.J. Chen, "Crystallization kinetics of melt-spun  $\text{Co}_{43}\text{Fe}_{20}\text{Ta}_{5.5}\text{B}_{31.5}$  amorphous alloy", Journal of Alloys and Compounds, Vol. 399, 2005, P. 166-172.
- 3- L. Elbaile, J.A. Riba, R. Quintana, J.A. García, " Nanocrystallization and fracture characteristics in Co-based ribbons", Journal of Non-Crystalline Solids, Vol. 354, 2008, P. 5113-5116.
- 4- M. Haddad-Sabzevar, "Ribbon formation and solidification behavior in planar flow melt spinning process", Ph. D. Thesis, Stockholm, 1994.

- 5- Y.C. Niu, X.F. Bian, W.M. Wang, S.F. Jin, X.J. Liu, J.Y. Zhang, G.L. Qin, "The use of flow behavior and thermal expansion to monitor structural change of amorphous  $\text{Fe}_{78}\text{Si}_9\text{B}_{13}$  ribbon", Journal of Non-Crystalline Solids, Vol. 351, 2005, P. 3854–3860.
- 6- V.A. Khonik, M. Ohta, K. Kitagawa, "Heating rate dependence of the shear viscosity of a finemet glassy alloy", Scripta Materialia , Vol. 45, 2001, P. 1393-1400.
- 7- Y.C. Niu, X.F. Bian, W.M. Wang, G.H. Li, S.F. Jin, Q. Jia, "On the distinct tensile flow of amorphous  $\text{Fe}_{78}\text{Si}_9\text{B}_{13}$  alloy at 430°C during continuous annealing", Journal of Alloys and Compounds, Vol. 462, 2008, P. 362–366.
- 8- W.N. Myung, S.P. Ryu, I.S. Hwang, H.G. Kim, T. Zhang, A. Inoue, A.L. Greer, "Viscous flow behavior of bulk amorphous  $\text{Zr}_{55}\text{Al}_{10}\text{Ni}_5\text{Cu}_{30}$  alloys", Materials Science and Engineering, A 304–306, 2001, P. 691–695.
- 9- Y. He, "Thermomechanical and viscoelastic behavior of a no-flow underfill Material for flip-chip applications", Thermochimica Acta 439 (2005) 127–134.
- 10- A. Mubarok, R.J. Heber, "Thermomechanical behavior of  $\text{Cu}_{50}\text{Hf}_{41.5}\text{Al}_{8.5}$  bulk metallic glass after sustained elastic deformation", Minerals, Metals & Materials Society and ASM International 2009.
- 11- Y.C. Chang , T.H. Hung , H.M. Chen, J.C. Huang, T.G. Nieh, C.J. Lee, "Viscous flow behavior and thermal properties of bulk amorphous  $\text{Mg}_{58}\text{Cu}_{31}\text{Y}_{11}$  alloy", Intermetallics, Vol. 15, 2007, P. 1303-1308.

## Thermomechanical properties of $\text{Co}_{67}\text{Fe}_4\text{Cr}_7\text{Si}_8\text{B}_{14}$ amorphous alloy

**S.A. Hasheminezhad<sup>\*</sup>, M. Haddad-Sabzevar**

\* Materials and metallurgical Engineering Department, Engineering Faculty, Ferdowsi University of Mashhad,  
Box 91775-1111, Mashhad, Iran.  
[akram.hasheminejad@gmail.com](mailto:akram.hasheminejad@gmail.com)

### Abstract

Thermomechanical behaviour of  $\text{Co}_{67}\text{Fe}_4\text{Cr}_7\text{Si}_8\text{B}_{14}$  amorphous alloy was investigated. The length change measurements of amorphous and annealed (at 500°C for 30 min.) samples was carried using thermomechanical analysis (TMA) from room temperature to fracture temperature. The temperature range was scanned at 20, 40 and 80 °Cmin<sup>-1</sup> heating rates under 1 and 5 N loads. Apparent thermal expansion of amorphous and annealed samples measured under 15 MPa and 312 MPa stresses between room temperature and fracture temperature. The viscosity was measured under continuous heating as a function of applied stress and heating rate. The onset, steady state and finish temperatures for viscous flow determined by TMA data. These temperatures increased with increasing applied stress and heating rate.

**Key words:** Co-based amorphous alloy, thermomechanical behavior, viscous flow behavior.